



OsteoBiol[®]
by TecnoSS

Biomateriały do regeneracji kości

WYKORZYSTANE W PONAD 500 000 ZABIEGÓW | DYSTRYBUOWANE W PONAD 60 KRAJACH
LICZNE DOWODY NAUKOWE | ZNAKOMITE REZULTATY KLINICZNE

NAUKA O REGENERACJI

ZAINSPIROWANE PRZEZ NATURĘ

TECNOSS®: UNIKALNY PROCES, KTÓRY PRZYSPIESZA I STERUJE NATURALNĄ REGENERACJĄ KOŚCI

Firma Tecnos[®] opracowała i opatentowała unikalną biotechnologię, która zapobiega ceramizacji kości i chroni zawarty w niej kolagen tkankowy. Pozwala to na osteoklastyczną przebudowę biomateriału, podobną do fizjologicznej przemiany kości. Dostarczane produkty charakteryzują się cechami bardzo podobnymi do ludzkiej kości mineralnej⁽¹⁾ z naturalną mikroporowatą strukturą, która ułatwia tworzenie nowej tkanki kostnej w miejscach defektów i przyspiesza proces regeneracji, zachowując pierwotny kształt i objętość wszczepu.

Dzięki tym właściwościom produkty OsteoBiol[®] wpływają na stałe formowanie się nowej kości i na bliski kontakt między nowo uformowaną tkanką a granulkami biomateriału^(A).

KOLAGEN: KLUCZOWY CZYNNIK SUKCESU KLINICZNEGO

Kolagen odgrywa kluczową rolę w procesie regeneracji kości, gdyż:

- a) jest ważnym substratem aktywacji i agregacji płytek krwi,
- b) przyczynia się do przyciągania i dyferencjacji mezenchymalnych komórek macierzystych obecnych w szpiku kostnym⁽²⁾,
- c) przyspiesza tempo proliferacji osteoblastów dwu/trzykrotnie⁽³⁾,
- d) stymuluje aktywację płytek krwi, osteoblastów i osteoklastów w procesie gojenia tkanek.

Dzięki zawartości kolagenu, produkt ułatwia krzepnięcie krwi i późniejszą inwazję komórek regeneracyjnych i naprawczych, sprzyjając *restitutio ad integrum* brakującej kości.

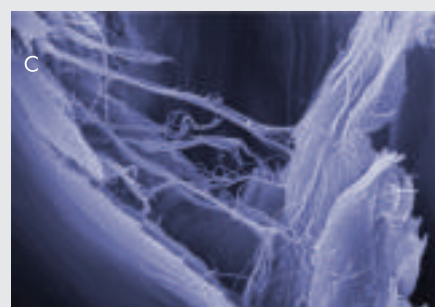
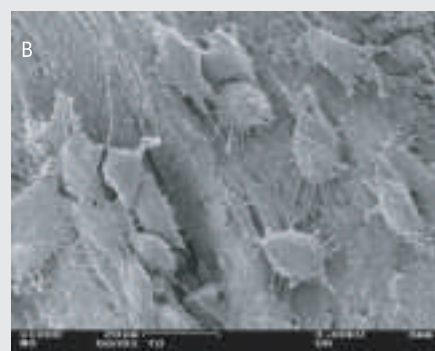
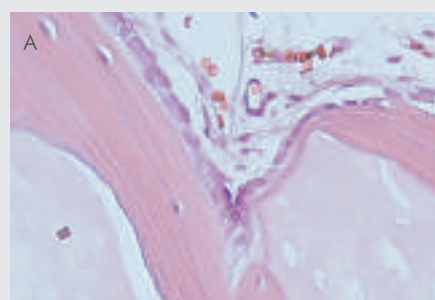
OSTEOBIOL®: WYJĄTKOWE BIOMATERIAŁY Z KOLAGENEM

Dzięki innowacyjnej technologii Tecnos[®], materiały OsteoBiol[®] mają następujące ważne cechy:

- 1) nie wywołują odpowiedzi immunologicznej na ciało obce u biorcy⁽⁴⁾,
- 2) ulegają stopniowej przebudowie w miarę upływu czasu^(5,6),
- 3) stymulują i przyspieszają fizjologiczne procesy gojenia tkanek,⁽²⁾
- 4) chronią miejsce wszczepu przed infekcjami (membrany),⁽⁷⁾
- 5) mogą być wykorzystywane jako nośnik leków do pola operacyjnego.⁽⁸⁾

Dzięki rewolucyjnej technologii, biomateriały nowej generacji Tecnos[®] wykraczają poza rolę wspomagania naturalnej odbudowy kości stymulując i przyspieszając ten ważny proces fizjologiczny.

OsteoBiol[®]
by Tecnos



A | Obraz przedstawiający formowanie się nowej tkanki kostnej na zawierającym kolagen granulacie kostnym pochodzenia wieprzowego (OsteoBiol[®] Gen-Os) dwa tygodnie po implantacji u królika. Wybarwienie hematoksylina-eozyjna. Oryginalne powiększenie x 40. Dzięki uprzejmości Prof. Ulf Nennmark i L. Sennerby, Uniwersytet w Goeteborgu, Szwecja.

B | Obraz SEM granulki OsteoBiol[®] Gen-Os skolonizowanej przez osteoblasty z linii komórkowej (MG63). Dzięki uprzejmości Prof. Ulf Nennmark, Uniwersytet w Goeteborgu, Szwecja.

C | Struktura kolagenu w membranie OsteoBiol[®]. Dzięki uprzejmości Nobil Bio Ricerche, Villafranca d'Asti, Włochy.

(1) Figueiredo M et al. J Biomed Mater Res B Appl Biomater, 2010 Feb; 92(2):409-419

(2) Brunelli G et al. Eur J Inflamm, 2011, Vol. 9, no. 3 (S), 103-107

(3) Hsu FY et al. Biomaterials, 1999, 20:1931-1936

(4) Crespi R et al. Int J Oral Maxillofac Implants, 2011 Jul - Aug; 26(4):866-72

(5) Nannmark U, Sennerby L. Clin Implant Dent Relat Res, 2008 Dec; 10(4):264-70

(6) Barone A et al. Clin Implant Dent Relat Res, 2012 Jun; 14(3):373-9

(7) Barone A et al. Clin Oral Implants Res, 2013 Nov; 24(11):1231-7

(8) Fischer K et al. Clin Oral Implants Res, 2015 Oct; 26(10):1135-42. Epub 2014 Sep 15



Rodzina produktów OsteoBiol®

PRODUKTY INNOWACYJNE TECHNOLOGICZNIE

Gen-Os®



HETEROLOGICZNY KOROWO-GĄBCZASTY MIKS KOŚCI Z KOLAGENEM

Naturalna replika kości autogennej *Gen-Os*® posiada taką samą jak ona wewnętrzną strukturę (matrycę i porowatą budowę) oraz daje wysoką aktywność osteokonducyjną zapewniając wsparcie nowo tworzącej się kości, pozwalając na zachowanie oryginalnego kształtu i objętości wszczepu.

Pochodzenie tkanki | Heterologiczny korowo-gąbczasty miks kości
Kolagen tkankowy | Zachowany
Forma | Granulki lekko widoczne na zdjęciach RTG
Skład | 100% miks granulatu
Granulacja | 250-1000 µm
Czas re-entry | Około 5 miesięcy
Opakowania | Fiolki: 0.25 g, 0.5 g, 1.0 g, 2.0 g
GMDN: 38746

mp3®



NAWILŻONY HETEROLOGICZNY KOROWO-GĄBCZASTY MIKS KOŚCI Z KOLAGENEM

Stopniowo resorbowalne granulki kości nawilżone żelem kolagenowym. Dostępne w gotowych do użycia strzykawkach. *Mp3*® może być z łatwością wszczepiany z pominięciem fazy nawilżania co ogranicza ryzyko przypadkowej ekspozycji materiału na patogeny podczas przygotowywania i augmentacji.

Pochodzenie tkanki | Heterologiczny korowo-gąbczasty miks kości
Kolagen tkankowy | Zachowany + dodatkowo 10% żelu kolagenowego
Forma | Granulki nawilżone żelem kolagenowym
Skład | 90% miks granulatu, 10% żel kolagenowy
Granulacja | 600-1000 µm
Czas re-entry | Około 5 miesięcy
Opakowania | Strzykawka: 1.0 cc, 2.0 cc, 3x0.25 cc, 3x0.5 cc, 3x1.0 cc
GMDN: 38746

Putty



NAWILŻONA HETEROLOGICZNA KOROWO-GĄBCZASTA PASTA KOSTNA Z KOLAGENEM

Wyjątkowy proces produkcji sprawia, że materiał ten posiada wyjątkową plastyczność i ciągliwość. Pasta *Putty* z łatwością dostosowuje się do kształtu zębodołu i defektów okołowszczepowych (z zachowanymi ścianami).

Pochodzenie tkanki | Heterologiczny korowo-gąbczasty miks kości
Kolagen tkankowy | Zachowany + dodatkowo 20% żelu kolagenowego
Forma | Pasta o plastycznej konsystencji, składająca się z miks zmikronizowanej kości nawilżonej żelem kolagenowym
Skład | 80% miks granulatu, 20% żel kolagenowy
Granulacja | Do 300 µm
Czas re-entry | Około 4 miesiące
Opakowania | Strzykawka: 0.25 cc, 0.5 cc, 1.0 cc, 3x0.25 cc, 3x0.5 cc
GMDN: 38746

Gel 40



NAWILŻONY HETEROLOGICZNY KOROWO-GĄBCZASTY ŻEL KOSTNY Z KOLAGENEM

Wyjątkowa gęstość i lepkość żelu kostnego *Gel 40* ułatwia stosowanie produktu przez chirurga, dając wsparcie podobne do kleju.

Pochodzenie tkanki | Heterologiczny korowo-gąbczasty miks kości
Kolagen tkankowy | Zachowany + dodatkowo 40% żelu kolagenowego
Forma | Pasta o plastycznej konsystencji, składająca się z miks zmikronizowanej kości nawilżonej żelem kolagenowym
Skład | 60% miks granulatu, 40% żel kolagenowy
Granulacja | Do 300 µm
Czas re-entry | Około 4 miesiące
Opakowania | Strzykawka: 0.5 cc, 3x0.5 cc
GMDN: 38746

Evolution



HETEROLOGICZNA MEMBRANA KOLAGENOWA

Uzyskana z tkanki mezenchymalnej i całkowicie resorbowalna membrana. Jej struktura to zwarta sieć włókien kolagenowych o dużej gęstości i znakomitej odporności na rozerwanie dzięki czemu z łatwością i wyjątkową precyzją dopasowuje się do tkanki kostnej i miękkiej.

Pochodzenie tkanki | Heterologiczna tkanka mezenchymalna
Kolagen tkankowy | Zachowany
Forma | Sucha membrana – jedna strona gładka, druga mikro-szorstka
Skład | 100% osierdzie (Fine), 100% otrzewna (Standard)
Grubość | Fine: 0.3-0.5 mm, Standard: 0.5-0.7 mm
Przewidywalny czas resorpcji | Fine: około 3 miesiące, Standard: około 4 miesiące
Opakowania | 20x20 mm, 30x30 mm, 25x35 mm (oval), 40x40 mm, 60x80 mm
GMDN: 38746

Lamina



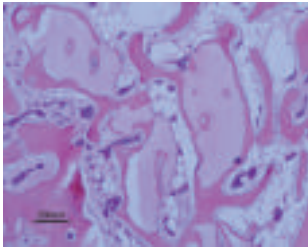
HETEROLOGICZNA KOŚĆ KOROWA Z KOLAGENEM

Płytki *Cortical Lamina* wykonana jest z heterologicznej kości korowej. Po procesie powierzchniowej dekalcyfikacji *Lamina* osiąga elastyczną konsystencję, zachowując jednak nadal typową formę tkanki kostnej, z której pochodzi. Brzegi materiału są zaokrąglone po to, aby nie powodować mikroszkodzeń otaczających go tkanek.

Pochodzenie tkanki | Heterologiczna kość korowa
Kolagen tkankowy | Zachowany
Forma | Twarda sucha płytki, elastyczna po nawilżeniu
Skład | 100% kość korowa
Grubość | Fine: 0.4-0.6 mm, Medium Curved: 0.8-1.0 mm, Standard: 2.0-4.0 mm
Przewidywalny czas resorpcji | Fine: około 5 miesięcy, Medium Curved: około 6 miesięcy, Standard: około 8 miesięcy
Opakowania | Fine: 25x25 mm, 25x35 mm (oval); Medium Curved: 35x35 mm; Medium: 35x35 mm; Standard: 30x30 mm
GMDN: 38746

Liczne dowody naukowe

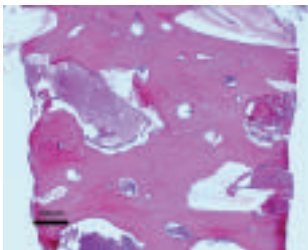
PONAD 15 LAT BADAŃ KLINICZNYCH



Histologia matrycy kostnej OsteoBiol®.

Dzięki uprzejmości Prof. Ulf Nannmark, Uniwersytet w Goeteborgu, Szwecja.

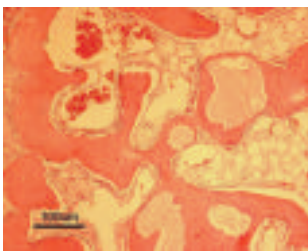
Barone A et al. Int J Oral Maxillofac Implants, 2005 JUL-AUG; 20(4):519-2
Cardaropoli D et al. Int J Periodontics Restorative Dent, 2008 Oct; 28(5):469-77
Nannmark U et al. Clin Implant Dent Relat Res, 2008 Dec;10(4):264-70 2008 Jan 30
Figueiredo M et al. J Biomed Mater Res B Appl Biomater, 2010 Feb; 92(2):409-419
Crespi R et al. Int J Oral Maxillofac Implants, 2011 Jul - Aug; 26(4):866-72
Festa VM et al. Clin Implant Dent Relat Res, 2013 Oct;15(5):707-13. Epub 2011 Nov 14
Cassetta M et al. Int J Periodontics Restorative Dent, 2012 Oct;32(5):581-9
Bottini LP et al. J of Periodontol, 2012 Oct 29, Epub ahead of print
Figueiredo M et al. Mater Sci Eng C Mater Biol Appl, 2013 Aug 1;33(6):3506-13
Cassetta M et al. Clin Oral Implants Res, 2015 Oct;26(10):1180-4 Epub 2014 May 26
Fischer KR et al. Clin Oral Implants Res, 2015 Oct;26(10):1135-42 Epub 2014 Sep 15
Esposito M et al. Eur J Oral Implantology, 2015;8(3):233-244
Mijiritsky E et al. Materials, 2017 Sep 8;10(9)
Rombouts C et al. Dent Mater J, 2016 Dec 1;35(6):900-907 Epub 2016 Sep 29



Histologia wykonana na odcinku biopsji pobranej z zatoki szczękowej po upływie 24 miesięcy od wszczepienia biomateriału OsteoBiol® mp3®. 48% nowej kości, 13% resztkowego materiału.

Biopsja dzięki uprzejmości Dr Roberto Rossi, Genova, Włochy.
Histologia dzięki uprzejmości Prof. Ulf Nannmark, Uniwersytet w Goeteborgu, Szwecja.

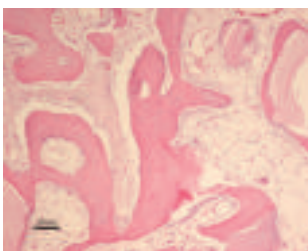
Barone A et al. J Periodontol, 2008 Aug; 79(8):1370-7
Nannmark U et al. Clin Implant Dent Relat Res, 2008 Dec;10(4):264-70 2008 Jan 30
Barone A et al. Clin Implant Dent Relat Res, 2012 Jun;14(3):373-9 Epub 2010 May 11
Calvo Guirado JL et al. Clin Implant Dent Relat Res, 2013 Feb;15(1):143-51 Epub 2011 Mar 31
Hinze M et al. Oral Craniofac Tissue Eng, 2011; 1:188-197
Slotte C et al. Clin Implant Dent Relat Res, 2013 Oct;15(5):714-23. Epub 2011 Dec 6
Ramirez Fernandez et al. Clin Oral Impl Res, 2013 May;24(5):523-30. Epub 2012 Jan 26
Barone A et al. J Periodontol, 2012 Jul;83(7):836-46 Epub 2011 Dec 5
Barone A et al. Clin Oral Implants Res, 2013 Nov;24(11):1231-7 Epub 2012 Jul 12
Wachtel H et al. Int J Periodontics Restorative Dent, 2013 Jul-Aug;33(4):491-7
Felice P et al. Eur J Oral Implantol, 2012 Summer;5(2):149-61
Thalmair T et al. J Clin Periodontol, 2013 Jul;40(7):721-7
Giuliani A et al. Clin Oral Investig, 2017 Jun 2 Epub ahead of print
Lozano Carrascal N et al. Clin Oral Implants Res, 2016 Feb;27(2):149-55



Obraz biopsji pokazujący nowo utworzoną kość powstałą w skutek augmentacji materiałem OsteoBiol® Putty. Biopsja została zrobiona po upływie 5 tygodni od wszczepienia materiału u królika. Mniejsze granulki są całkowicie pokryte nowo utworzoną kością i skupiska osteoblastów są widoczne prawie na wszystkich powierzchniach kości. Zarówno szpik jak i kość są w pełni kształtowane przez nowe komórki. Htx-eozyna. Oryginalne powiększenie x20.

Dzięki uprzejmości Prof. Ulf Nannmark, Uniwersytet w Goeteborgu, Szwecja.

Arcuri C et al. Minerva Stomatol, 2005 jun;54(6):351-62
Barone A et al. Eur J Implant Prosthodontics, 2006;2: 99-106
Calvo Guirado JL et al. J Ir Dent Assoc, 2007 Winter;53(4):187-90
Nannmark U et al. Clin Implant Dent Relat Res, 2010 Jun 1; 12(2):161-3. Epub 2010 Apr 9
Santagata M et al. J Oral Implantol, 2011 Mar;37 Spec n.:114-9. Epub 2010 Jun 16
Cassetta M et al. Int J Periodontics Restorative Dent, 2012 oct;32(5):581-9
Calvo Guirado JL et al. Implant Dent, 2012 Apr;21(2):112-7
Lopez MA et al. J Biol Regul Homeost Agents, 2016 Apr-Jun;30(2 Suppl 1):81-85



Obraz biopsji pokazujący nowo utworzoną tkankę kostną po leczeniu z zastosowaniem OsteoBiol® Gel 40. Biopsje zostały pobrane po upływie 5 tygodni od wszczepienia w kość szczęki u królika. Htx-eozyna. Oryginalne powiększenie x20.

Dzięki uprzejmości Prof. Ulf Nannmark, Uniwersytet w Goeteborgu, Szwecja.

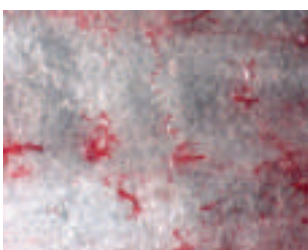
Barone A et al. Int J Periodontics Restorative Dent, 2008 Jun; 28(3):283-9
Covani U et al. Int J Oral Maxillofac Implants, 2008 Sep-Oct; 23(5):841-6
Cardaropoli D et al. Int J Periodontics Restorative Dent, 2009 feb; 29(1):59-67
Nannmark U et al. Clin Implant Dent Relat Res, 2010 Jun 1; 12(2):161-3. Epub 2010 Apr 9
Pagliani L et al. Clin Implant Dent Relat Res, 2012 oct;14(5):746-58. Epub 2010 Oct 26
Santagata M et al. J Oral Implantology, 2010; 36(6):485-489. Epub 2010 Jun 16
Lorenzon G et al. Dentistry, 2015, 52



Obraz SEM przedstawiający matrycę kolagenową membrany OsteoBiol® Evolution.

Dzięki uprzejmości Nobil Bio Ricerche, Villafranca d'Asti, Włochy.

Cardaropoli D et al. Int J Periodontics Restorative Dent, 2008 Oct; 28(5):469-77
Nannmark U et al. Clin Implant Dent Relat Res, 2008 Dec;10(4):264-70 2008 Jan 30
Scarano A et al. J Oral Maxillofac Surg, 2010 Aug;68(8):1869-73
Barone A et al. Clin Oral Implants Res, 2011 Oct;22(10):1131-7
Scarano A et al. Clin Implant Dent Relat Res, 2011 Mar; 13(1):13-18
Slotte C et al. Clin Implant Dent Relat Res, 2013 Oct;15(5):714-23. Epub 2011 Dec 6
Barone A et al. J Periodontol, 2012 Jul;83(7):836-46 Epub 2011 Dec 5
Barone A et al. Clin Oral Impl Res, 2013 Nov;24(11):1231-7 Epub 2012 Jul 12
Wachtel H et al. Int J Periodontics Restorative Dent, 2013 Jul-Aug;33(4):491-7
Barone A et al. Clin Oral Implants Res, 2015 Jul;26(7):806-13 Epub 2014 Mar 1
Barone A et al. Clin Implant Dent Relat Res, 2014 May 22, Epub ahead of print
Barone A et al. Clin Oral Implants Res, 2015 Feb 26 Epub ahead of print
Esposito M et al. Eur J Oral Implantology, 2015;8(3):233-244
Felice P et al. Int J Periodontics Restorative Dent, 2017 Jul/Aug;37(4):469-480



Obraz LM płytki OsteoBiol® Lamina nawilżonej krwią: unaczynienie wzmożnione przez obecność naturalnych kanałów naczyń krwionośnych.

Dzięki uprzejmości Prof. Ulf Nannmark, Uniwersytet w Goeteborgu, Szwecja.

Rinna C et al. J Craniofac Surg, 2005 Nov; 16(6):968-72
Scarano A et al. J Osseointegr, 2009;1(1):35-40
Rinna C et al. J of Craniofac Surg, 2009 May; 20(3):881-4
Hinze M et al. Int J Oral Maxillofac Implants, 2013 Nov-Dec;28(6):e376-385
Festa VM et al. Clin Implant Dent and Relat Res, 2013 Oct;15(5):707-13. Epub 2011 Nov 14
Wachtel H et al. Int J Periodontics Restorative Dent, 2013 Jul-Aug;33(4):491-7
Scarano A et al. Minerva Stomatol, 2014 Oct;63(10):351-9
Ozel B et al. J Craniofac Surg, 2015 Oct;43(8):1583-8 Epub 2015 Jul 4
Lopez MA et al. J of Biol Regul Homeost Agents, 2015 Jul-Sep;29(3 Suppl 1):97-100
Rossi R et al. Minerva Stomatol, 2016 Oct;65(5):257-68 Epub 2016 Jun 30
Lopez MA et al. J of Biol Regul Homeost Agents, 2016 Apr-Jun;30(2 Suppl 1):75-79
Barone A et al. Implant Dent, 2014 Aug;23(4):407-15



Wskazania kliniczne

ZAPROJEKTOWANE Z MYŚLĄ O SZCZEGÓLNYCH WSKAZANIACH KLINICZNYCH

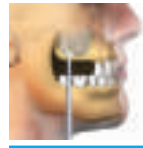
GEN-OS® | BIOMATERIAŁ Z KOLAGENEM



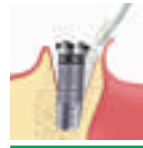
WYPEŁNIENIE
ZĘBODOŁU



SINUS LIFT
Z DOSTĘPU
BOCZNEGO



SINUS LIFT
METODĄ ZAMKNIĘTĄ



DEFEKTY
OKOŁOWSZCZEPOWE
(BRAK 1 lub 2 ŚCIAN)



POZIOMA AUGMENTACJA
WYROSTKA
(DEFEKTY DWUŚCIENNE)



DWUŚCIENNE
DEFEKTY KOSTNE



RECESJA DZIAŚŁA

MP3® | NAJWYŻSZA JAKOŚĆ WYKONANIA I ŁATWOŚĆ STOSOWANIA



WYPEŁNIENIE
ZĘBODOŁU



ZACHOWANIE
WYROSTKA



SINUS LIFT
Z DOSTĘPU
BOCZNEGO



POZIOMA AUGMENTACJA
WYROSTKA
(DEFEKTY DWUŚCIENNE)



PIONOWA
AUGMENTACJA
WYROSTKA

PUTTY | ZAPROJEKTOWANY Z MYŚLĄ O DEFECTACH OKOŁOWSZCZEPOWYCH



WYPEŁNIENIE
ZĘBODOŁU



DEFEKTY
OKOŁOWSZCZEPOWE
(ZACHOWANE ŚCIANY)



ROZSZCZEPIENIE
WYROSTKA

GEL 40 | WYJĄTKOWY HETEROLOGICZNY ŻEL KOSTNY



SINUS LIFT
METODĄ ZAMKNIĘTĄ



REGENERACJA PRZYŻĘBIA
(TRÓJŚCIENNE
DEFEKTY KOSTNE)



RECESJA DZIAŚŁA

EVOLUTION | NATURALNA EWOLUCJA MEMBRAN KOLAGENOWYCH



WYPEŁNIENIE
ZĘBODOŁU



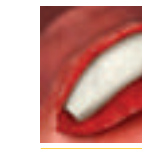
SINUS LIFT
Z DOSTĘPU
BOCZNEGO



DEFEKTY
OKOŁOWSZCZEPOWE



POZIOMA AUGMENTACJA
WYROSTKA
(DEFEKTY DWUŚCIENNE)



POZIOMA AUGMENTACJA
WYROSTKA
(ROZSZCZEPIENIE WYROSTKA)



PIONOWA
AUGMENTACJA
WYROSTKA

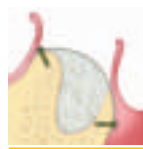


UBYTKI
ŚRÓDKOSTNE

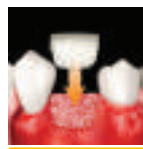
LAMINA | BEZKONKURENCYJNA BARIERA Z KOŚCI KOROWEJ



SINUS LIFT
Z DOSTĘPU
BOCZNEGO



POZIOMA
AUGMENTACJA WYROSTKA
(LAMINA CURVED)



Opisy przypadków

DOSKONAŁOŚĆ KLINICZNA KAŻDEGO DNIA

REGENERACJA PRZYŻĘBIA



Defekt kostny



Augmentacja z zastosowaniem OsteoBioI® Gen-Os®



Przykrycie wszczepu membraną OsteoBioI® Evolution



Osiągnięto 3mm CAL w ciągu 9 miesięcy

Dokumentacja dzięki uprzejmości Prof. Dr **Sérgio Matos**
Uniwersytet w Coimbrze, Portugalia
e-mail: sergiomatos1@sapo.pt

Substytut kości: **OsteoBioI® Gen-Os®**
Membrana: **OsteoBioI® Evolution**

DWUSTRONNE PODNIESIENIE DNA ZATOKI SZCZĘKOWEJ Z DOSTĘPU BOCZNEGO



Osteotomia wykonywana w celu uzyskania dostępu do prawej zatoki szczękowej



Zatoka wypełniona biomateriałem OsteoBioI® mp3®



Antrostomia przykryta membraną kolagenową OsteoBioI® Special



Obraz RTG 8 miesięcy po zabiegu

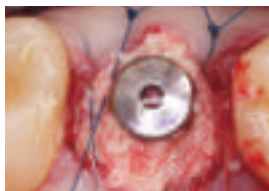
Dokumentacja dzięki uprzejmości Dr **Antonio Barone** i Prof. **Ugo Covani**
Departament odontostomatologii,
"Ospedale della Versilia",
Lido di Camaiore, Włochy
e-mail: barosurg@gmail.com

Substytut kości: **OsteoBioI® mp3®**
Membrana: **OsteoBioI® Special**

ZACHOWANIE WYROSTKA ZĘBODOŁOWEGO



Atraumatyczna ekstrakcja zęba 2.6



Regeneracja ubytku okółowoszczepowego przy użyciu OsteoBioI® Putty



Obraz 3 miesiące po zabiegu

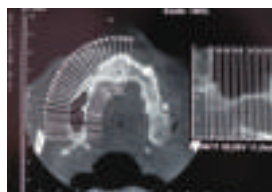


Przygotowanie do wykonania stałej korony ceramicznej

Dokumentacja dzięki uprzejmości Dr **Antonio Murillo Rodriguez**
Profesor Uniwersytetu Alfonso X,
Eibar, Hiszpania
e-mail: dr_murillorodriguez@yahoo.es

Substytut kości: **OsteoBioI® Putty**

PODNIESIENIE DNA ZATOKI SZCZĘKOWEJ METODĄ ZAMKNIĘTĄ



Obraz sytuacji początkowej



Odsłonięcie płyta i osteotomia kości



Sinus lift przy użyciu OsteoBioI® Gel 40



Pooperacyjne zdjęcie wszczepionego materiału

Dokumentacja dzięki uprzejmości Dr **Roberto Rossi**
M.Sc.P. in Periodontology Genova,
Włochy
e-mail: drrossi@mac.com

Substytut kości: **OsteoBioI® Gel 40**

POZIOMA REGENERACJA WYROSTKA PRZEDSIONKOWEGO



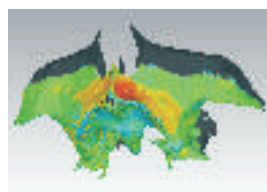
Obraz wewnętrzny 9 miesięcy po zabiegu Sinus Lift



Regeneracja wyrostka przy pomocy Gen-Os® + TSV Gel



Zabezpieczenie wszczepu membraną OsteoBioI® Evolution standard



Nalóżone na siebie CBCT przed i bezpośrednio po zabiegu

Dokumentacja dzięki uprzejmości Prof **Tiziano Testori**
MD, DDS, FICD, Como
e-mail: info@tiziano-testori.it

Substytut kości: **OsteoBioI® Gen-Os®**
w połączeniu z **TSV Gel**
Membrana: **OsteoBioI® Evolution**

POZIOMA AUGMENTACJA



Zbyt wąski wyrostek by wykonać implantację



Odbudowa wyrostka przy użyciu biomateriału OsteoBioI® mp3®



Przykrycie wszczepu płytką OsteoBioI® Cortical Lamina



Wprowadzone implanty 6 miesięcy po zabiegu

Dokumentacja dzięki uprzejmości Prof. Dr **Hannes Wachtel** i Dr **Tobias Thalmair**
Prywatny Instytut Periodontologii i Implantologii, Monachium, Niemcy
e-mail: hannes@wachtel.biz

Substytut kości: **OsteoBioI® mp3®**
Bariera: **OsteoBioI® Lamina**

- ARCURI C, CECCHETTI F, GERMANO F, MOTTA A, SANTACROCE C
CLINICAL AND HISTOLOGICAL STUDY OF A XENOGENIC BONE SUBSTITUTE USED AS A FILLER IN POSTEXTRACTIVE ALVEOLUS
 MINERVA STOMATOL, 2005 JUN;54(6):351-62
- BARONE A, CRESPI R, ALDINI NN, FINI M, GIARDINO R, COVANI U
MAXILLARY SINUS AUGMENTATION: HISTOLOGIC AND HISTOMORPHOMETRIC ANALYSIS
 INT J ORAL MAXILLOFAC IMPLANTS, 2005 JUL-AUG; 20(4):519-25
- RINNA C, UNGARI C, SALTAREL A, CASSONI A, REALE G
ORBITAL FLOOR RESTORATION
 J CRANIOFAC SURG, 2005 NOV; 16(6):968-72
- BARONE A, SANTINI S, SBORDONE L, CRESPI R, COVANI U
A CLINICAL STUDY OF THE OUTCOMES AND COMPLICATIONS ASSOCIATED WITH MAXILLARY SINUS AUGMENTATION
 INT J ORAL MAXILLOFAC IMPLANTS, 2006 JAN-FEB; 21(1):81-5
- BARONE A, ALDINI NN, FINI M, GIARDINO R, CALVO GUIRADO JL, COVANI U
XENOGRAFT VERSUS EXTRACTION ALONE FOR RIDGE PRESERVATION AFTER TOOTH REMOVAL: A CLINICAL AND HISTOMORPHOMETRIC STUDY
 J PERIODONTOL, 2008 AUG;79(8):1370-7
- COVANI U, CORNELINI R, BARONE A
BUCCAL BONE AUGMENTATION AROUND IMMEDIATE IMPLANTS WITH AND WITHOUT FLAP ELEVATION: A MODIFIED APPROACH
 INT J ORAL MAXILLOFAC IMPLANTS, 2008 SEP-OCT; 23(5):841-6
- CARDAROPOLI D, CARDAROPOLI G
PRESERVATION OF THE POSTEXTRACTION ALVEOLAR RIDGE: A CLINICAL AND HISTOLOGIC STUDY
 INT J PERIODONTICS RESTORATIVE DENT, 2008 OCT; 28(5):469-77
- NANNMARK U, SENNERBY L
THE BONE TISSUE RESPONSES TO PREHYDRATED AND COLLAGENATED CORTICO-CANCELLOUS PORCINE BONE GRAFTS: A STUDY IN RABBIT MAXILLARY DEFECTS
 CLIN IMPLANT DENT RELAT RES, 2008 DEC;10(4):264-70. EPUB 2008 JAN 30
- FIGUEIREDO M, HENRIQUES J, MARTINS G, GUERRA F, JUDAS F, FIGUEIREDO H
PHYSICO-CHEMICAL CHARACTERIZATION OF BIOMATERIALS COMMONLY USED IN DENTISTRY AS BONE SUBSTITUTES - COMPARISON WITH HUMAN BONE
 J BIOMED MATER RES B APPL BIOMATER, 2010 FEB; 92(2):409-19
- RINNA C, REALE G, FORESTA E, MUSTAZZA MC
MEDIAL ORBITAL WALL RECONSTRUCTION WITH SWINE BONE CORTEX
 J OF CRANIOFAC SURG, 2009 MAY; 20(3):881-4
- CARDAROPOLI D, CARDAROPOLI G
HEALING OF GINGIVAL RECESSIONS USING A COLLAGEN MEMBRANE WITH A DEMINERALIZED XENOGRAFT: A RANDOMIZED CONTROLLED CLINICAL TRIAL
 INT J PERIODONTICS RESTORATIVE DENT, 2009 FEB; 29(1):59-67
- NANNMARK U, AZARMEHR I
SHORT COMMUNICATION: COLLAGENATED CORTICO-CANCELLOUS PORCINE BONE GRAFTS. A STUDY IN RABBIT MAXILLARY DEFECTS
 CLIN IMPLANT DENT RELAT RES, 2010 JUN 1; 12(2):161-3. EPUB 2010 APR 9
- BARONE A, RICCI M, COVANI U, NANNMARK U, AZARMEHR I, CALVO GUIRADO JL
MAXILLARY SINUS AUGMENTATION USING PREHYDRATED CORTICOCANCELLOUS PORCINE BONE: HYSTEMORPHOMETRIC EVALUATION AFTER 6 MONTHS
 CLIN IMPLANT DENT RELAT RES, 2012 JUN;14(3):373-9. EPUB 2010 MAY 11
- BARONE A, RICCI M, CALVO GUIRADO JL, COVANI U
BONE REMODELLING AFTER REGENERATIVE PROCEDURES AROUND IMPLANTS PLACED IN FRESH EXTRACTION SOCKETS: AN EXPERIMENTAL STUDY IN BEAGLE DOGS
 CLIN ORAL IMPLANTS RES, 2011 OCT;22(10):1131-7
- CALVO GUIRADO JL, RAMIREZ FERNANDEZ MP, NEGRI B, DELGADO RUIZ RA, MATÉ SANCHEZ DE VAL JE, GOMEZ MORENO G
EXPERIMENTAL MODEL OF BONE RESPONSE TO COLLAGENIZED XENOGRAFTS OF PORCINE ORIGIN (OSTEOBIOL® MP3): A RADIOLOGICAL AND HISTOMORPHOMETRIC STUDY
 CLIN IMPLANT DENT RELAT RES, 2013 FEB;15(1):143-51. EPUB 2011 MAR 31
- CRESPI R, CAPPARÉ P, ROMANOS GE, MARIANI E, BENASCIUTTI E, GHERLONE E
CORTICOCANCELLOUS PORCINE BONE IN THE HEALING OF HUMAN EXTRACTION SOCKETS: COMBINING HISTOMORPHOMETRY WITH OSTEOBLAST GENE EXPRESSION PROFILES IN VIVO
 INT J ORAL MAXILLOFAC IMPLANTS, 2011 JUL-AUG; 26(4):866-72
- SLOTTE C, LINDFORS N, NANNMARK U
SURGICAL RECONSTRUCTION OF PERI-IMPLANT BONE DEFECTS WITH PREHYDRATED AND COLLAGENATED PORCINE BONE AND COLLAGEN BARRIERS: CASE PRESENTATIONS
 CLIN IMPLANT DENT RELAT RES, 2013 OCT;15(5):714-23. EPUB 2011 DEC 6
- FESTA VM, ADDABBO F, LAINO L, FEMIANO F, RULLO R
PORCINE-DERIVED XENOGRAFT COMBINED WITH A SOFT CORTICAL MEMBRANE VERSUS EXTRACTION ALONE FOR IMPLANT SITE DEVELOPMENT: A CLINICAL STUDY IN HUMANS
 CLIN IMPLANT DENT AND RELAT RES, 2013 OCT;15(5):707-13. EPUB 2011 NOV 14
- RAMIREZ FERNANDEZ MP, CALVO GUIRADO JL, MATÉ SANCHEZ DE VAL JE, DELGADO RUIZ RA, NEGRI B, BARONA DORADO C
ULTRASTRUCTURAL STUDY BY BACKSCATTERED ELECTRON IMAGING AND ELEMENTAL MICROANALYSIS OF BONE-TO-BIOMATERIAL INTERFACE AND MINERAL DEGRADATION OF PORCINE XENOGRAFTS USED IN MAXILLARY SINUS FLOOR ELEVATION
 CLIN ORAL IMPLANTS RES, 2013 MAY;24(5):523-30. EPUB 2012 JAN 26
- CASSETTA M, RICCI L, IEZZI G, DELL'AQUILA D, PIATTELLI A, PERROTTI V
RESONANCE FREQUENCY ANALYSIS OF IMPLANTS INSERTED WITH A SIMULTANEOUS GRAFTING PROCEDURE: A 5-YEAR FOLLOW-UP STUDY IN MAN
 INT J PERIODONTICS RESTORATIVE DENT, 2012 OCT;32(5):581-9
- BARONE A, ORLANDO B, CINGANO L, MARCONCINI S, DERCHI G, COVANI U
A RANDOMIZED CLINICAL TRIAL TO EVALUATE AND COMPARE IMPLANTS PLACED IN AUGMENTED VS. NON-AUGMENTED EXTRACTION SOCKETS. A 3-YEAR EVALUATION
 J PERIODONTOL, 2012 JUL;83(7):836-46. EPUB 2011 DEC 5
- BARONE A, RICCI M, TONELLI P, SANTINI S, COVANI U
TISSUE CHANGES OF EXTRACTION SOCKETS IN HUMANS: A COMPARISON OF SPONTANEOUS HEALING VS. RIDGE PRESERVATION WITH SECONDARY SOFT TISSUE
- HEALING**
 CLIN ORAL IMPLANTS RES, 2013 NOV;24(11):1231-7. EPUB 2012 JUL 12
- BOTTINI LP, RICCI L, PIATTELLI A, PERROTTI V, IEZZI G
BUCCO-LINGUAL CRESTAL BONE CHANGES AROUND IMPLANTS IMMEDIATELY PLACED IN FRESH SOCKETS IN ASSOCIATION OR NOT WITH PORCINE BONE: A NON-BLINDED RANDOMIZED CONTROLLED TRIAL IN HUMANS
 J PERIODONTOL, 2012 OCT 29, EPUB AHEAD OF PRINT
- WACHTEL H, FICKL S, HINZE M, BOLZ W, THALMAIR T
THE BONE LAMINA TECHNIQUE: A NOVEL APPROACH FOR LATERAL RIDGE AUGMENTATION - A CASE SERIES
 INT J PERIODONTICS RESTORATIVE DENT, 2013 JUL-AUG;33(4):491-7
- FIGUEIREDO A, COIMBRA P, CABRITA A, GUERRA F, FIGUEIREDO M
COMPARISON OF A XENOGENIC AND AN ALLOPLASTIC MATERIAL USED IN DENTAL IMPLANTS IN TERMS OF PHYSICO-CHEMICAL CHARACTERISTICS AND IN VIVO INFLAMMATORY RESPONSE
 MATER SCI ENG C MATER BIOL APPL, 2013 AUG 1;33(6):3506-13. EPUB 2013 MAY 3
- CALVO GUIRADO JL, GOMEZ MORENO G, GUARDIA J, ORTIZ RUIZ A, PIATTELLI A, BARONE A, MARTÍNEZ GONZÁLEZ JM, MESENGUER OLMO L, LÓPEZ MARÍ L, DORADO CB
BIOLOGICAL RESPONSE TO PORCINE XENOGRAFT IMPLANTS: AN EXPERIMENTAL STUDY IN RABBITS
 IMPLANT DENT, 2012 APR;21(2):112-7
- BARONE A, BORGIA V, COVANI U, RICCI M, PIATTELLI A, IEZZI G
FLAP VERSUS FLAPLESS PROCEDURE FOR RIDGE PRESERVATION IN ALVEOLAR EXTRACTION SOCKETS: A HISTOLOGICAL EVALUATION IN A RANDOMIZED CLINICAL TRIAL
 CLIN ORAL IMPLANTS RES, 2015 JUL;26(7):806-13. EPUB 2014 MAR 1
- BARONE A, RICCI M, ROMANOS GE, TONELLI P, ALFONSI F, COVANI U
BUCCAL BONE DEFICIENCY IN FRESH EXTRACTION SOCKETS: A PROSPECTIVE SINGLE COHORT STUDY
 CLIN ORAL IMPLANTS RES, 2014 MAR 31 EPUB AHEAD OF PRINT
- CASSETTA M, PERROTTI V, CALASSO S, PIATTELLI A, SINJARI B, IEZZI G
BONE FORMATION IN SINUS AUGMENTATION PROCEDURES USING AUTOLOGOUS BONE, PORCINE BONE, AND A 50 : 50 MIXTURE: A HUMAN CLINICAL AND HISTOLOGICAL EVALUATION AT 2 MONTHS
 CLIN ORAL IMPLANTS RES, 2014 MAY 26 EPUB AHEAD OF PRINT
- FISCHER KR, STAVROPOULOS A, CALVO GUIRADO JL, SCHNEIDER D, FICKL S
INFLUENCE OF LOCAL ADMINISTRATION OF PAMIDRONATE ON EXTRACTION SOCKET HEALING – A HISTOMORPHOMETRIC PROOF-OF-PRINCIPLE PRE-CLINICAL IN VIVO EVALUATION
 CLIN ORAL IMPLANTS RES, 2014 SEP 15 EPUB AHEAD OF PRINT
- THALMAIR T, FICKL S, SCHNEIDER D, HINZE M, WACHTEL H
DIMENSIONAL ALTERATIONS OF EXTRACTION SITES AFTER DIFFERENT ALVEOLAR RIDGE PRESERVATION TECHNIQUES – A VOLUMETRIC STUDY
 J CLIN PERIODONTOL, 2013 JUL;40(7):721-7
- ESPOSITO M, GRUSOVIN MG, LAMBERT F, MATOS S, PIETRUSKA M, ROSSI R, SALHI I, BUTI J
THE EFFECTIVENESS OF A RESORBABLE BONE SUBSTITUTE WITH A RESORBABLE MEMBRANE IN THE TREATMENT OF PERIODONTAL INFRA-BONY DEFECT - A MULTICENTER RANDOMISED CONTROLLED TRIAL
 EUR J ORAL IMPLANTOL, 2015;8(3):233-244
- OZEL B, FINDIKCIOGLU K, SEZGIN B, GUNAY K, BARUT I, OZMEN S
A NEW OPTION FOR THE RECONSTRUCTION OF ORBITAL FLOOR DEFECTS WITH HETEROLOGOUS CORTICAL BONE
 J CRANIOMAXILLOFAC SURG, 2015 OCT;43(8):1583-8 EPUB 2015 JUL 4
- LOPEZ MA, ANDREASI BASSI M, CONFALONE L, CARINCI F
REGENERATION OF ATROPHIC CRESTAL RIDGES WITH RESORBABLE LAMINA: TECHNICAL NOTE
 J OF BIOL REGUL HOMEOST AGENTS, 2015 JUL-SEP;29(3 SUPPL 1):97-100
- ROSSI R, RANCITELLI D, POLI PP, RASIA DAL POLO M, NANNMARK U, MAIORANA C
THE USE OF A COLLAGENATED PORCINE CORTICAL LAMINA IN THE RECONSTRUCTION OF ALVEOLAR RIDGE DEFECTS. A CLINICAL AND HISTOLOGICAL STUDY
 MINERVA STOMATOL, 2016 OCT;65(5):257-68 EPUB 2016 JUNE 30
- ROMBOUTS C, JEANNEAU C, CAMILLERI J, LAURENT P, ABOUT I
CHARACTERIZATION AND ANGIOGENIC POTENTIAL OF XENOGENIC BONE GRAFTING MATERIALS: ROLE OF PERIODONTAL LIGAMENT CELLS
 DENT MATER J, 2016 DEC 1;35(6):900-907 EPUB 2016 SEP 29
- TALLARICO M, XHANARI E, PISANO M, DE RIU G, TULLIO A, MELONI SM
SINGLE POST-EXTRACTIVE ULTRA-WIDE 7 MM-DIAMETER IMPLANTS VERSUS IMPLANTS PLACED IN MOLAR HEALED SITES AFTER SOCKET PRESERVATION FOR MOLAR REPLACEMENT: 6-MONTH POST-LOADING RESULTS FROM A RANDOMISED CONTROLLED TRIAL
 EUR J ORAL IMPLANTOL, 2016;9(3):263-275
- BARONE A, TOTI P, MENCHINI FABRIS GB, MARCHIONNI S, COVANI U
EARLY VOLUMETRIC CHANGES AFTER VERTICAL AUGMENTATION OF THE ATROPHIC POSTERIOR MANDIBLE WITH INTERPOSITIONAL BLOCK GRAFT VERSUS ONLAY BONE GRAFT: A RETROSPECTIVE RADIOLOGICAL STUDY
 J CRANIO MAXILL SURG, 2017 JAN 25 EPUB AHEAD OF PRINT
- GIULIANI A, IEZZI G, MAZZONI S, PIATTELLI A, PERROTTI V, BARONE A
REGENERATIVE PROPERTIES OF COLLAGENATED PORCINE BONE GRAFTS IN HUMAN MAXILLA: DEMONSTRATIVE STUDY OF THE KINETICS BY SYNCHROTRON RADIATION MICROTOMOGRAPHY AND LIGHT MICROSCOPY
 CLIN ORAL INVESTIG, 2017 JUN 2 EPUB AHEAD OF PRINT
- MIJIRITSKY E, FERRONI L, GARDIN C, BRESSAN E, ZANETTE G, PIATTELLI A, ZAVAN B
PORCINE BONE SCAFFOLDS ADSORB GROWTH FACTORS SECRETED BY MSCS AND IMPROVE BONE TISSUE REPAIR
 MATERIALS, 2017 SEP 8;10(9)
- BARONE A, TOTI P, QUARANTA A, ALFONSI F, CUCCHI A, CALVO GUIRADO JL, NEGRI B, DI FELICE R, COVANI U
VOLUMETRIC ANALYSIS OF REMODELLING PATTERN AFTER RIDGE PRESERVATION COMPARING USE OF TWO TYPES OF XENOGRAFTS. A MULTICENTRE RANDOMIZED CLINICAL TRIAL
 CLIN ORAL IMPLANTS RES, 2016 NOV;27(11):E105-E115 EPUB 2015 FEB 26

OsteoBiol[®]

by Tecnos

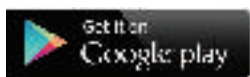
WYKORZYSTANE W PONAD 500 000 ZABIEGÓW | DYSTRYBUOWANE W PONAD 60 KRAJACH
LICZNE DOWODY NAUKOWE | ZNAKOMITE REZULTATY KLINICZNE



Tecnoss s.r.l. to innowacyjna, aktywna globalnie firma, która zajmuje się opracowywaniem, produkcją i dokumentowaniem najwyższej jakości ksenogennych biomateriałów pod markami Tecnos[®] i OsteoBiol[®].

Ponad 20 lat badań doprowadziło do opracowania chronionego patentem procesu produkcji, który zapewnia neutralizację czynników antygenowych w celu uzyskania biokompatybilności produktu. Podczas tego samego procesu produkcji metoda Tecnos[®] pozwala na zachowanie naturalnej matrycy kolagenowej wewnątrz biomateriału.

Produkty Tecnos[®] produkowane są zgodnie z najwyższymi standardami jakości takimi jak ISO 10993, ISO 13485 (jednostka notyfikowana Kiwa Cermet) i 93/42/EEC (jednostka notyfikowana CE 0373).



www.osteobiol.com

Tecnoss[®] Dental
Via Livorno, 60
10144 Torino | Italy
Tel +39 011 2257396
Fax +39 011 2257398
info@tecnoss-dental.com

www.osteobiol.com

International Sales & Marketing

Autoryzowany Dystrybutor

"MEDILAB" Sp. z o.o.
ul. Niedźwiedzia 60
15-531 Białystok
tel. (85) 747 93 00; fax (85) 747 93 01
e-mail: handlowy@medilab.pl